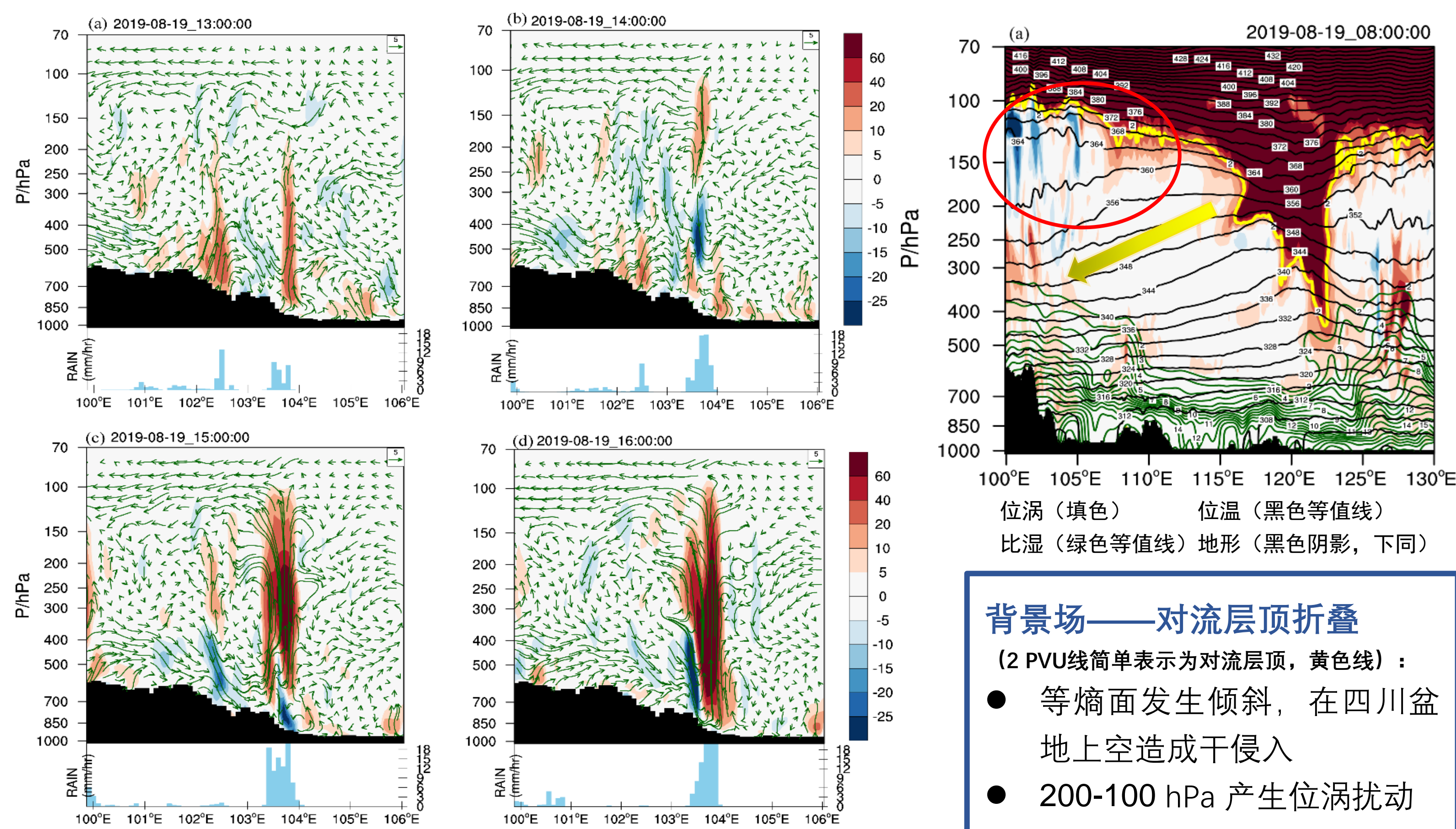


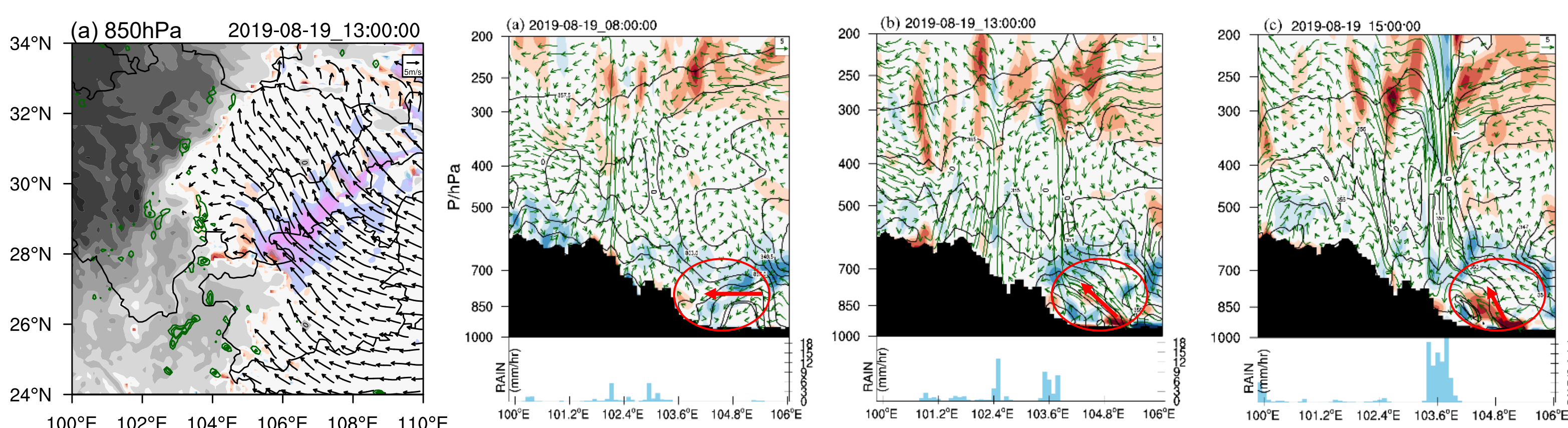
个例一：2019年8月19日



形成过程分阶段进行 (图左, 扰动垂直速度)

- ①对流层对流的触发 ②高层上升运动的发展 ③中层垂直运动的变化

穿透性对流的形成机理

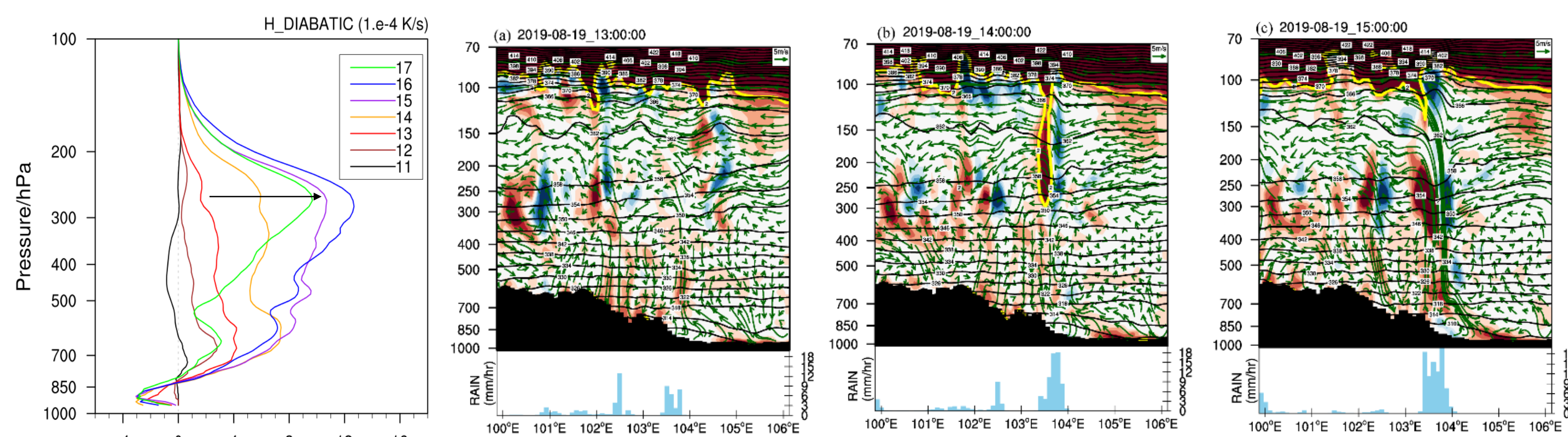


➢ 对流触发←低空急流发展

(背景不稳定层结下, 低空急流左侧气旋性切变结合地形抬升作用)

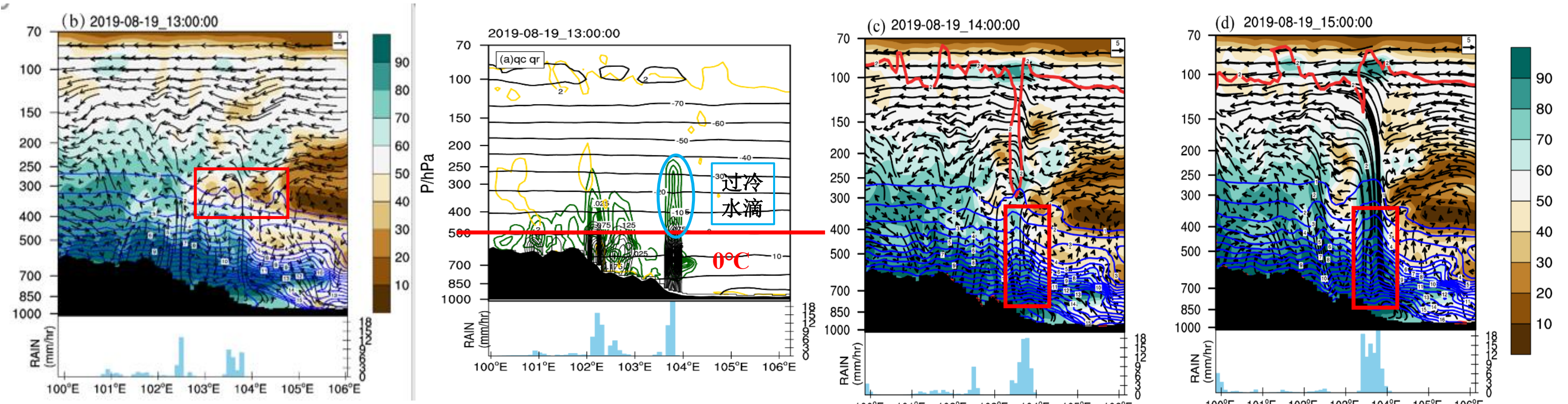
➢ 低层上升运动的维持←倾斜涡度发展

(低空急流作用下高能暖湿舌向盆地内部发展和低层垂直风切变增强)



➢ 高层上升运动发展←PV扰动发展

(非绝热加热作用增强垂直加热梯度导致高层位涡扰动发展增强)



➢ 中层垂直运动变化←下沉运动造成局地干冷空气入侵

(干环境下粒子相变导致冷却下沉加剧对流不稳定, 下沉转为上升运动)

个例二：2017年8月7日

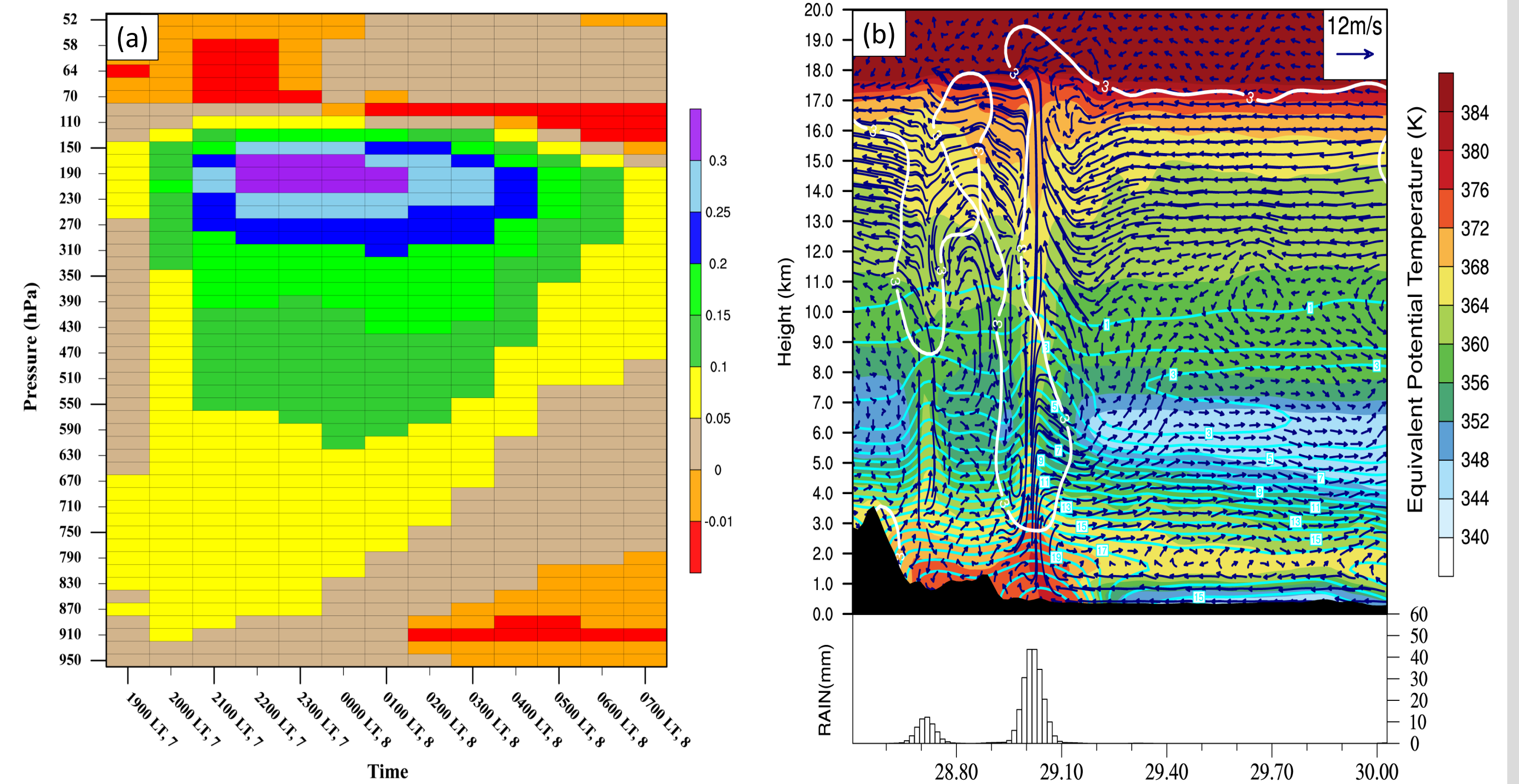


图 1. (a) 强对流区域平均垂直风速 (填色, $m \cdot s^{-1}$) 日变化的垂直分布; (b) 穿透性对流触发时的风矢量(海蓝色矢量, $m \cdot s^{-1}$)、等效位温(阴影, K)、比湿(青色实线, $g \cdot kg^{-1}$)和位涡(白色实线, 3 PVU)的纬度-高度剖面

➢ 本次个例穿透性对流的判断标准: 对流突破对流层顶 (采用基于位涡 PV 的动力对流层顶, $PV = 3 \text{ PVU}$)

穿透性对流的形成机理

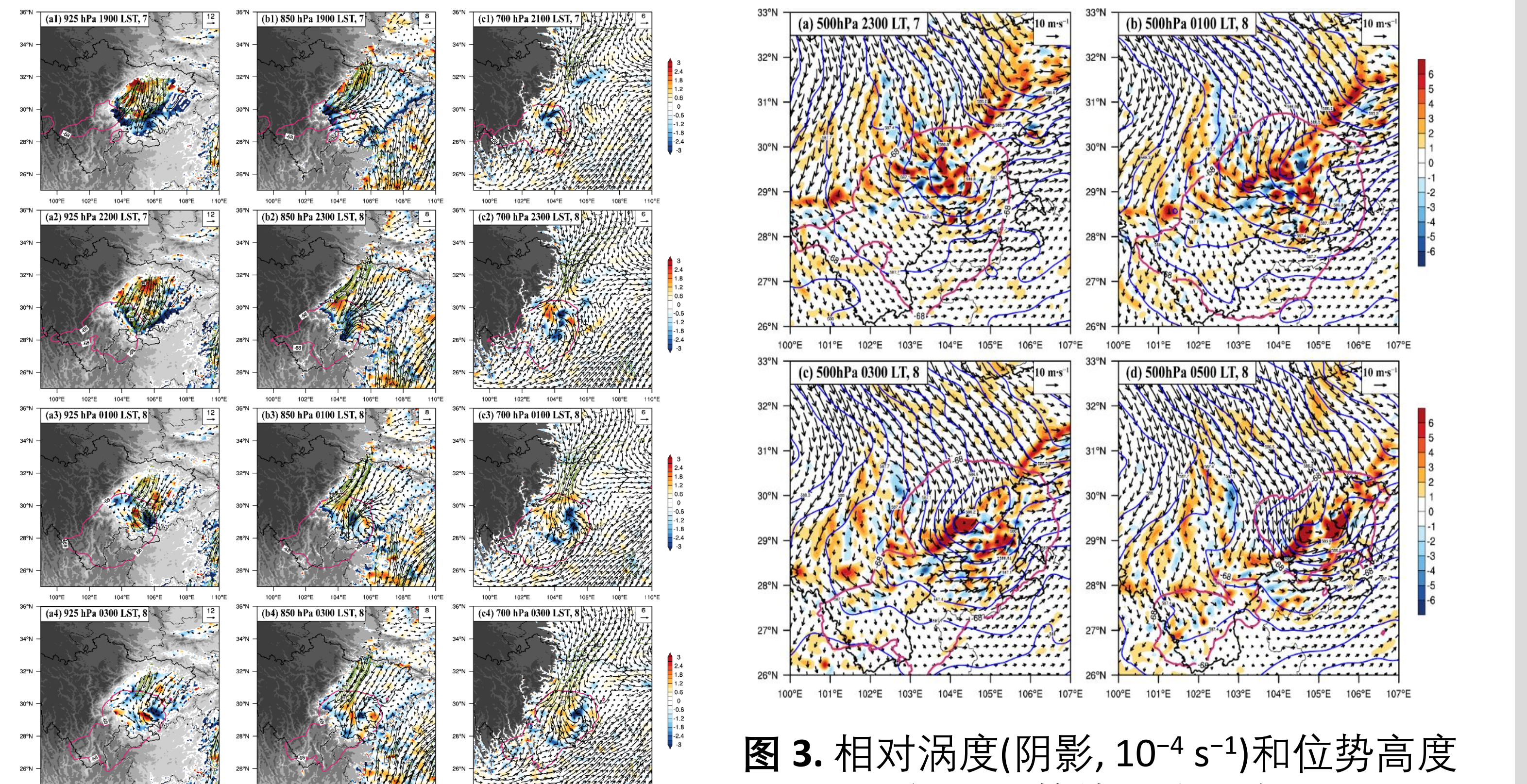


图 2. 低空急流时空演变

➢ 低层偏北低空急流: 引起低层对流和局地辐合、对流不稳定能量释放
➢ 中层中尺度对流涡旋: 在对流成熟期出现, 维持中层上升运动

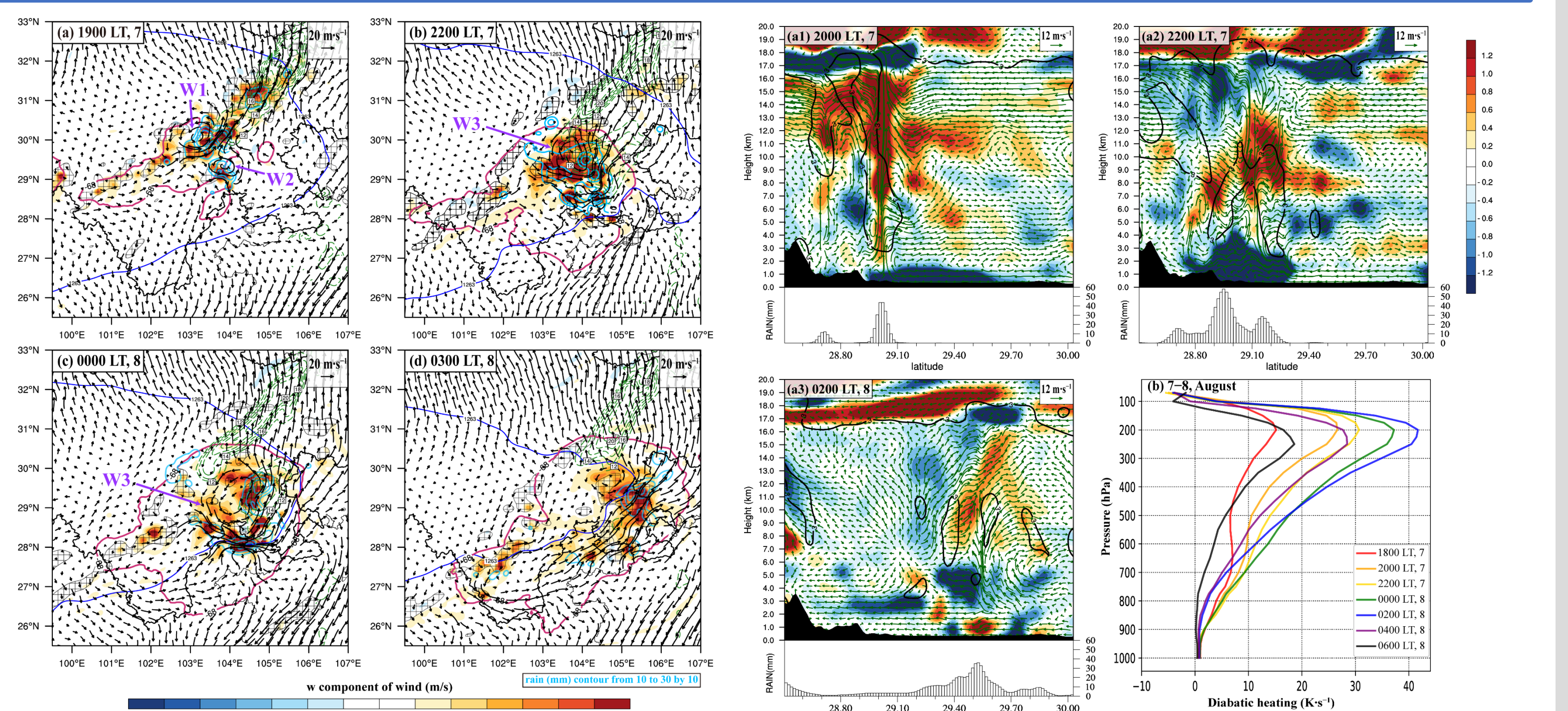


图 4. 非地转风矢量 ($m \cdot s^{-1}$)、散度(灰网) 图 5. 3小时温度变化(填色, K)的纬度-高度剖面; (b) 平均非绝热加热时间演变 hPa LLJ (绿虚线) 和等效黑体温度(红线, °C)

➢ 高层加强的非地转风抽吸效应: 加强高层上升运动
➢ 非绝热加热: 降水释放潜热加热高层大气, 维持穿透性对流

联系方式

周玉淑
赖子洋
张泓池

邮箱: zys@mail.iap.ac.cn
809913613@qq.com
839592799@qq.com